

# Quelques applications des pseudozéros de polynômes

Stef GRAILLAT  
Université de Perpignan

graillat@univ-perp.fr  
<http://gala.univ-perp.fr/~graillat>

Séminaire du laboratoire MANO, 25 mars 2004



# Introduction et motivations

## But :

Travailler avec des polynômes ayant des données (coefficients ou racines) connues avec une incertitude : recherche de racines, primalité, calcul de PGCD, stabilité en automatique, etc.

## Raisons :

- Résultats provenant d'expériences.
- Représentation des nombres en machine.

## Applications :

- Traitement du signal et d'images.
- Robotique.
- Biologie moléculaire.
- Automatique.

# Exemples du PGCD

## Exemple 1 :

Soient  $p$  et  $q$  deux polynômes unitaires et  $\deg p > 1$ .

On suppose de plus que  $p$  divise  $q \implies \gcd(p, q) = p$ .

Or pour toute constante  $\varepsilon > 0$ , on a  $\gcd(p, q + \varepsilon) = 1$ .

## Exemple 2 :

$$p = z^2 - 3.0001z + 1.9999 \approx (z - 1)(z - 2),$$

$$q = z^2 - 1.9999z + 1.0001 \approx (z - 1)^2.$$

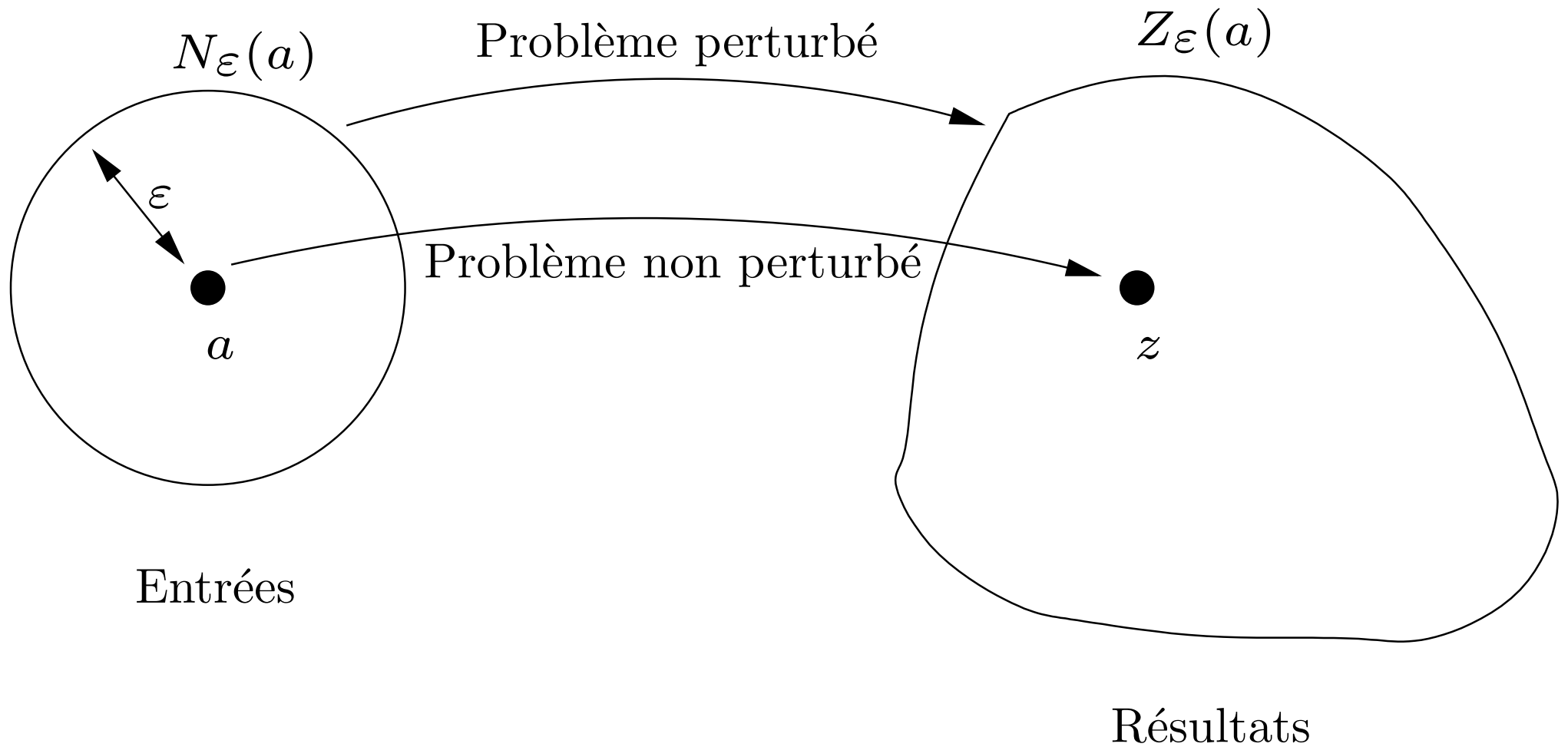
Pour  $\varepsilon$  une perturbation sur les coefficients, on aimerait dire :

- $\gcd(p, q) = z - 1$  pour  $\varepsilon = 0.0001$ .

# Approche des problèmes

- Problèmes difficiles : on doit rechercher des « singularités ».
- La démarche générale :
  - Donner une **définition** précise de ce que l'on veut calculer.
  - Trouver des **algorithmes** pour ce calcul (souvent des heuristiques).
  - **Certifier** les résultats.
- appliquée à
  - ⇒  $(\varepsilon\text{-pseudo})$ zéros
  - ⇒  $(\varepsilon\text{-})$ primalité
  - ⇒  $(\varepsilon\text{-})$ stabilité en théorie du contrôle

# Principe des calculs approchés



# Plan de l'exposé

## I – Les pseudozéros

- Définition et algorithme de calcul
- Problème du polynôme le plus proche avec une racine donnée

## II – Application des pseudozéros à la primalité

- Définitions
- Présentation des algorithmes existants
- Apport des pseudozéros

## III – Application des pseudozéros en théorie du contrôle

- Stabilité au sens de Hurwith et de Schur
- Calcul du rayon de stabilité

# Les pseudozéros : définition, calcul et intérêt

# Pseudozéros : définition

## Perturbation :

Voisinage du polynôme  $p \in \mathbf{C}_n[z]$

$$N_\varepsilon(p) = \{\hat{p} \in \mathbf{C}_n[z] : \|p - \hat{p}\| \leq \varepsilon\}.$$

## Définition de l'ensemble des $\varepsilon$ -pseudozéros :

$$Z_\varepsilon(p) = \{z \in \mathbb{C} : \hat{p}(z) = 0 \text{ pour } \hat{p} \in N_\varepsilon(p)\}.$$

$\|\cdot\|$ , norme sur le vecteur des coefficients de  $p$

# Les pseudozéros

- ▶ Mosier (1986) : étude avec la norme  $\| \cdot \|_{\infty}$ .
- ▶ Trefethen et Toh (1994) : étude avec la norme  $\| \cdot \|_2$ .  
pseudozéros  $\approx$  pseudospectres de la matrice compagnon.
- ▶ Chatelin et Frayssé (1996) : Synthèse des articles précédents dans *Lectures on Finite Precision Computations* (SIAM)
- ▶ Stetter (1999) : *algèbre numérique polynomiale*. Généralise les travaux précédents.
- ▶ Zhang (2001) : Étude en norme  $\| \cdot \|_2$  de l'influence de la base (conditionnement de l'évaluation).

# Les pseudozéros sont facilement calculables

## Théorème :

L'ensemble des  $\varepsilon$ -pseudozéros vérifie

$$Z_\varepsilon(p) = \left\{ z \in \mathbb{C} : |g(z)| := \frac{|p(z)|}{\|\underline{z}\|_*} \leq \varepsilon \right\},$$

où  $\underline{z} = (1, z, \dots, z^n)$  et  $\|\cdot\|_*$  est la norme duale de  $\|\cdot\|$ .

La démonstration nécessite de connaître « le » polynôme le plus proche de  $p$  ayant une racine donnée.

# Le polynôme le plus proche ayant une racine donnée $p_u$

Soient  $p$  dans  $\mathbf{C}_n[z]$  et  $u \in \mathbf{C}$ .

## Énoncé du problème :

Trouver un polynôme  $p_u \in \mathbf{C}_n[z]$  vérifiant  $p_u(u) = 0$  et tel que s'il existe un polynôme  $q \in \mathbf{C}_n[z]$  avec  $q(u) = 0$  alors on ait  $\|p - p_u\| \leq \|p - q\|$ .

## On cherche :

- une expression explicite de  $p_u$  ;
- un résultat d'unicité.

## Calcul de $p_u$

Notons  $\underline{u} := (1, u, u^2, \dots, u^n) \in \mathbf{C}^{n+1}$ .

Il existe  $d \in \mathbf{C}^{n+1}$  vérifiant  $d^* \underline{u} = \|\underline{u}\|_*$  et  $\|d\| = 1$ .

Définissons les polynômes  $r$  et  $p_u$  par

$$r(z) = \sum_{k=0}^n r_k z^k \quad \text{avec} \quad r_k = \bar{d}_k,$$

$$p_u(z) = p(z) - \frac{p(u)}{r(u)} r(z).$$

$p_u$  est le polynôme le plus proche de  $p$   
ayant  $u$  comme racine.

## Unicité de $p_u$

Une condition suffisante d'unicité :

**Théorème.** *Si la norme  $\|\cdot\|$  est strictement convexe, alors  $p_u$  est unique.*

C'est le cas, par exemple, pour les normes  $\|\cdot\|_p$  pour  $1 < p < \infty$ .

On n'a pas unicité pour  $\|\cdot\|_1$  et  $\|\cdot\|_\infty$ . Pour  $p(z) = 1 + z$

	$\ \cdot\ _1, \quad u = 1$		$\ \cdot\ _\infty, \quad u = 0$	
$p_u$	$p_1^{(1)}(z) = 0$	$p_1^{(2)}(z) = \frac{1}{3}(1 - z)$	$p_0^{(1)}(z) = z$	$p_0^{(2)}(z) = \frac{1}{2}z$
$p - p_i$	$z - 1$	$\frac{4}{3}z - \frac{2}{3}$	$1$	$\frac{1}{2}z + 1$
$\ p - p_i\ $	$2$	$2$	$1$	$1$

## Cas polynôme réel, racine réelle

Soient  $p$  dans  $\mathbf{R}_n[x]$  et  $u \in \mathbf{R}$  : identique au cas complexe.  $\underline{u} := (1, u, u^2, \dots, u^n) \in \mathbf{R}^{n+1}$ .

Il existe  $d \in \mathbf{R}^{n+1}$  vérifiant  $d^* \underline{u} = \|\underline{u}\|_*$  et  $\|d\| = 1$ .

Définissons les polynômes  $r \in \mathbf{R}[x]$  et  $p_u \in \mathbf{R}[x]$  par

$$r(z) = \sum_{k=0}^n r_k x^k \quad \text{avec} \quad r_k = d_k,$$

$$p_u(x) = p(x) - \frac{p(u)}{r(u)} r(x).$$

$p_u$  est le polynôme le plus proche de  $p$   
ayant  $u$  comme racine.

# Problème ouvert

Soient  $p$  dans  $\mathbf{R}_n[x]$  et  $u \in \mathbf{C} \setminus \mathbf{R}$ .

## Énoncé du problème :

Trouver un polynôme  $p_u \in \mathbf{R}_n[x]$  annulant  $u$  et tel que s'il existe un polynôme  $q \in \mathbf{R}_n[x]$  avec  $q(u) = 0$  alors on ait  $\|p - p_u\| \leq \|p - q\|$ .

- Pas encore de formule explicite comme dans le cas complexe.
- Solution par des méthodes d'optimisation.

# Algorithme de calcul des pseudozéros

## Tracé de $\varepsilon$ -pseudozéros :

1. On maille un carré contenant toutes les racines de  $p$  (commande MATLAB : `meshgrid`).
2. On calcule  $g(z) := \frac{|p(z)|}{\|z\|}$  pour tous les points  $z$  de la grille.
3. On affiche la ligne de niveau  $|g(z)| = \varepsilon$  (commande MATLAB : `contour`).

## Problèmes :

- Localisation : trouver un carré contenant toutes les racines de  $p$  et tous les pseudozéros.
- Séparation : trouver un pas de grille qui sépare toutes les racines.

# Choix de la grille

Soit  $p$  un polynôme unitaire de degré  $n$  et  $\{z_i\}$  l'ensemble de ses  $n$  racines. Notons  $r = \max_{i=1;\dots;n} |z_i|$ . On a [Mignotte, 1989]

$$r \leq 1 + \|p\|_\infty.$$

Notons  $R := 1 + \|p\| + \varepsilon$ . On montre que

$Z_\varepsilon(p) \subset B(0, R)$  boule fermée de centre 0 et de rayon  $R$ .

# Complexité du tracé

Notons  $L$  la longueur du carré et  $h$  le pas de discrétisation. L'évaluation de  $g(u)$  nécessite

- l'évaluation d'un polynôme, ce qui se fait en  $\mathcal{O}(n)$ ,
- le calcul de la norme d'un vecteur qui se fait aussi en général en  $\mathcal{O}(n)$ .

La complexité de l'algorithme précédent est donc en

$$\mathcal{O}\left(\left(\frac{L}{h}\right)^2 n\right).$$

$L$  et  $h$  dépendent de  $n$  mais aussi des coefficients du polynôme.

# Simulation numérique

Ensemble des pseudozéros du polynôme « de Wilkinson »

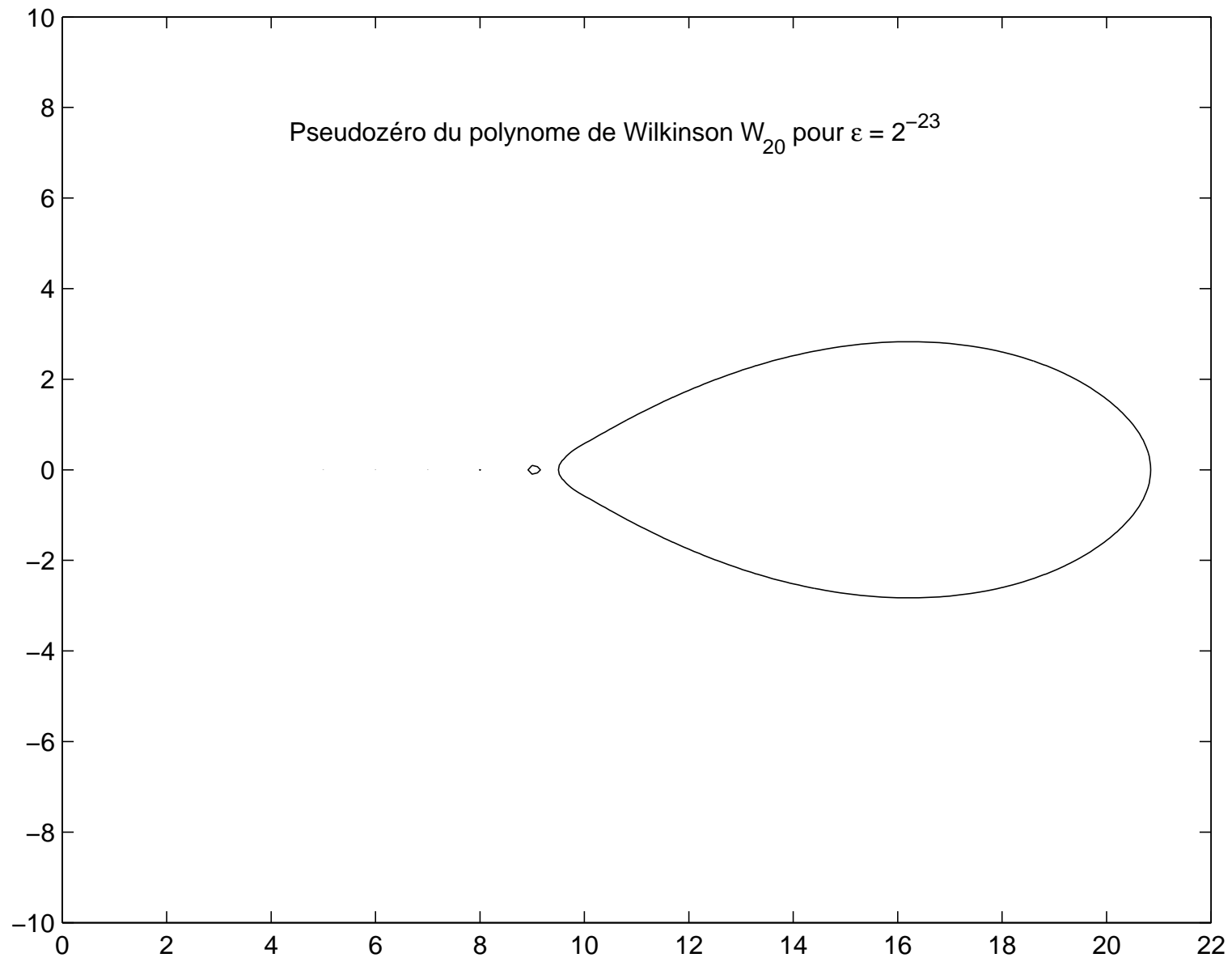
$$\begin{aligned}W_{20} &= (z - 1)(z - 2) \cdots (z - 20), \\ &= z^{20} - 210z^{19} + \cdots + 20!,\end{aligned}$$

en ne perturbant que le coefficient de  $z^{19}$  avec une perturbation inférieure à  $\varepsilon = 2^{-23}$ .

On utilise une norme  $\|\cdot\|_\infty$  pondérée :

$$\|p\|_\infty = \max_i \frac{|p_i|}{m_i} \text{ avec } m_i \text{ réels positifs}$$

et la convention  $m/0 = \infty$  si  $m > 0$  et  $0/0 = 0$ .



# Intérêts des pseudozéros

## Intérêts

- une étude qualitative du polynôme
- comprendre les résultats des algorithmes
- utiliser des polynômes avec une incertitude sur leurs coefficients (mesure physique / précision finie)

## Inconvénients

- le coût

## Deux théorèmes relatifs aux pseudozéros

**Théorème. [Mosier]** *Si on suppose que l'ensemble des pseudozéros est borné et si  $q \in N_\varepsilon(p)$  alors  $q$  et  $p$  ont le même nombre de racines (en comptant les multiplicités) dans chaque composante connexe de  $Z_\varepsilon(p)$ . De plus, il y a au moins une racine du polynôme  $p$  dans chaque composante connexe de  $Z_\varepsilon(p)$ .*

**Théorème. [Mosier]** *Un voisinage d'une racine de  $p$  contient deux racines de  $p$  si et seulement si il contient un  $u \in \mathbf{C}$  comme racine double de  $p_u$ .*

# Pseudozéros de polynômes réels

Si  $p \in \mathbf{R}_n[x]$ , on définit

$$N_\varepsilon(p) := \{q \in \mathbf{R}_n[x] : \|p - q\| \leq \varepsilon\}.$$

Deux cas :

- on cherche les pseudozéros réels : identique au cas complexe ;
- on cherche tous les pseudozéros complexes non réels.

On définit alors l'ensemble des pseudozéros par

$$Z_\varepsilon(p) := \{z \in \mathbf{C} : \hat{p}(z) = 0 \text{ pour } \hat{p} \in N_\varepsilon(p)\}.$$

$Z_\varepsilon(p)$  est symétrique par rapport à l'axe des réels.

# Deux théorèmes relatifs au pseudozéros de polynômes réels

**Théorème. [Stetter]** Soit  $Z_\mu$  une composante connexe de  $Z_\varepsilon(p)$  de multiplicité 1. Alors ou bien  $Z_\mu \subset \mathbf{R}$  ou bien  $Z_\mu \cap \mathbf{R} = \emptyset$ .

**Théorème. [Stetter]** Une composante connexe  $Z_\mu$  de  $Z_\varepsilon(p)$  vérifiant  $\emptyset \neq Z_\mu \cap \mathbf{R} \neq Z_\mu$  est de multiplicité au moins 2.

# Application des pseudo-zéros à la primalité

# Définition d'un PGCD approché

## Définition classique :

Soient  $p$  et  $q$  des polynômes de degrés respectifs  $n$  et  $m$  et soit  $\varepsilon$  un nombre positif. On appelle :

- **$\varepsilon$ -diviseur** (ou diviseur approché) : tout diviseur des polynômes perturbés  $\hat{p}$  et  $\hat{q}$  vérifiant

$$\deg \hat{p} \leq n, \deg \hat{q} \leq m \text{ et } \max(\|p - \hat{p}\|, \|q - \hat{q}\|) \leq \varepsilon.$$

- **$\varepsilon$ -PGCD** (PGCD approché) : un  $\varepsilon$ -diviseur de degré maximum.

## Remarques :

- Tolérance sur les coefficients (nombres flottants / mesures).
- Unicité du degré mais non du  $\varepsilon$ -PGCD.
- Dépendance par rapport au corps de base.

# Définition de la $\varepsilon$ - primalité

## Définition :

Deux polynômes  $p$  et  $q$  sont  $\varepsilon$ -premiers entre eux si leur  $\varepsilon$ -PGCD est 1.

## Calcul :

- Optimisation : algorithme de Karmarkar et Lakshman (1995).
- Borne de Sylvester : algorithme COPRIME [Beckermann et Labahn 1998].
- Graphique : les pseudo-zéros.

# Algorithme de Karmarkar et Lakshman

Il s'agit d'un algorithme d'optimisation (moindre carré).

- **Entrée** :  $p$  et  $q$  deux polynômes unitaires de même degré  $n$ .
- **Sortie** :  $\hat{p}$ ,  $\hat{q}$  deux polynômes unitaires de degré  $n$  et  $\alpha$  tels que  $\alpha$  soit racine commune de  $\hat{p}$  et  $\hat{q}$  avec  $\|p - \hat{p}\|_2^2 + \|q - \hat{q}\|_2^2$  minimum.
- **Complexité** : polynomiale en  $n$ .

[Karmarkar & Lakshman - 98]

## Étape de l'algorithme

1. Le minimum de  $\|p - \hat{p}\|_2^2 + \|q - \hat{q}\|_2^2$  comme fonction de  $\alpha$  sous les contraintes  $\hat{p}(\alpha) = \hat{q}(\alpha) = 0$  est

$$\mathcal{N}_M(\alpha) := \frac{p(\alpha)\overline{p(\alpha)} + q(\alpha)\overline{q(\alpha)}}{\sum_{j=0}^{n-1} (\alpha\bar{\alpha})^j}, \quad \alpha = a + ib \in \mathbf{C}.$$

2. Soit  $\alpha$  tel que  $\frac{\partial \mathcal{N}_M}{\partial a}(\alpha) = 0$ ,  $\frac{\partial \mathcal{N}_M}{\partial b}(\alpha) = 0$  et  $\mathcal{N}_M(\alpha)$  minimum.
3. On a

$$\hat{p}_i = p_i - \frac{\bar{\alpha}^i p(\alpha)}{\sum_{k=0}^{n-1} (\bar{\alpha}\alpha)^k}, \quad \hat{q}_i = q_i - \frac{\bar{\alpha}^i q(\alpha)}{\sum_{k=0}^{n-1} (\bar{\alpha}\alpha)^k}.$$

# Algorithme COPRIME

$$\|p\| = \sum |p_i|, \|(p, q)\| = \max\{\|p\|, \|q\|\} = \max\{\sum |p_i|, \sum |q_i|\}.$$

Algorithme de Beckermann et Labahn (1998).

- **Entrée** :  $p$  et  $q$  deux polynômes.
- **Sortie** : borne inférieure de  $\epsilon(p, q)$  défini par

$$\epsilon(p, q) = \inf\{\|(p - \hat{p}, q - \hat{q})\| : (\hat{p}, \hat{q}) \text{ ont une racine commune et}$$

$$\deg \hat{p} \leq n, \deg \hat{q} \leq m\}.$$

- **Complexité** : en  $\mathcal{O}((n + m)^2)$ .

# Matrice de Sylvester

$$S(p, q) = \begin{bmatrix} p_0 & 0 & \cdots & 0 & q_0 & 0 & \cdots & 0 \\ p_1 & p_0 & \cdots & \vdots & q_1 & q_0 & \cdots & \vdots \\ \vdots & \cdots & \cdots & 0 & \vdots & \cdots & \cdots & 0 \\ p_n & & \cdots & p_0 & q_m & & \cdots & q_0 \\ 0 & p_n & & p_1 & 0 & q_m & & q_1 \\ \cdots & \cdots & \cdots & \vdots & \vdots & \cdots & \cdots & \vdots \\ 0 & \cdots & 0 & p_n & 0 & \cdots & 0 & q_m \end{bmatrix} \in \mathbf{C}^{(n+m) \times (n+m)}.$$

**Critère de Sylvester** :  $p$  et  $q$  sont premiers entre eux  $\iff$  la matrice  $S(p, q)$  est régulière.

# Présentation de la méthode

$$\epsilon(p, q) \geq \frac{1}{\|S(p, q)^{-1}\|}$$

- Estimation de  $\|S(p, q)^{-1}\|$  basée sur une SVD trop coûteux.
- On cherche une borne supérieure de  $\|S(p, q)^{-1}\|$ .

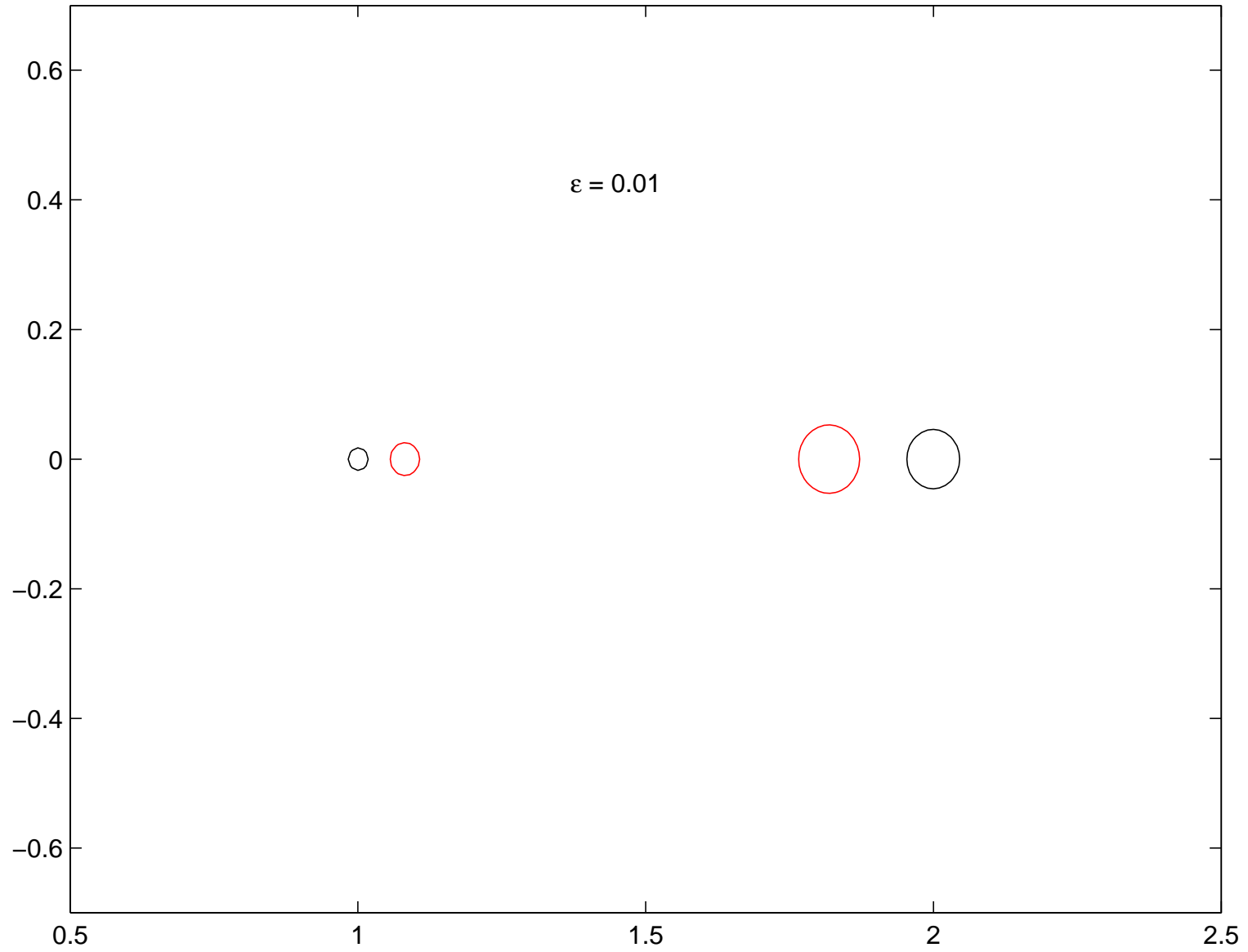
# Les pseudozéros

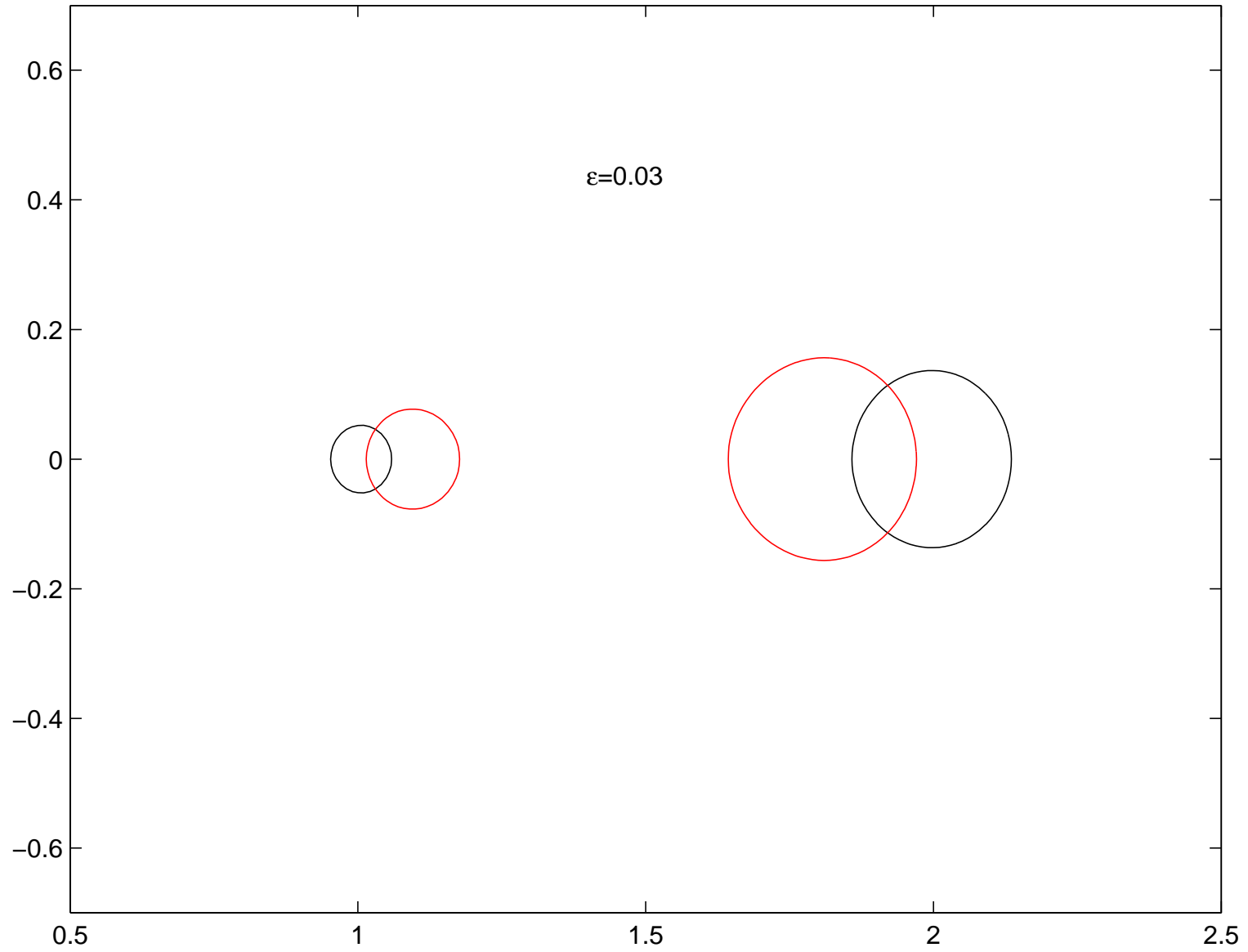
- **Entrée** :  $p$  et  $q$  deux polynômes.
- **Sortie** : un graphique.
- **Inconvénient** : outil qualitatif.

- **Exemple en  $\|\cdot\|_2$**  :

$$p = (z - 1)(z - 2) = z^2 - 3z + 2$$

$$q = (z - 1.08)(z - 1.82) = z^2 - 2.9z + 1.9656$$



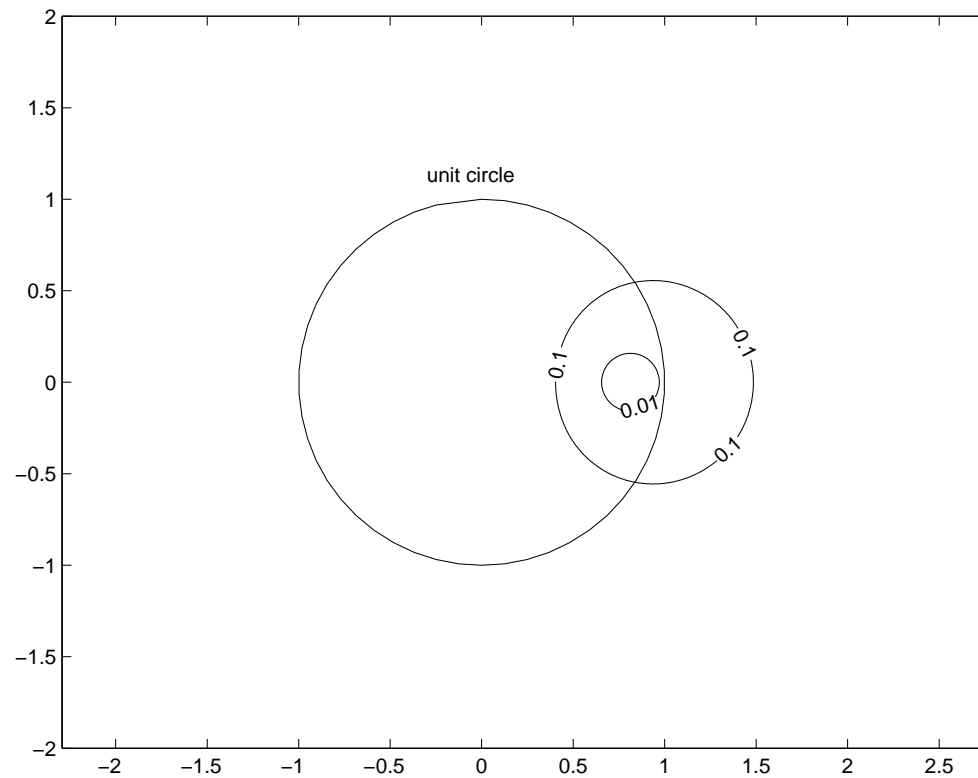


# Application des pseudozéros en théorie du contrôle

# La stabilité robuste de Schur en théorie du contrôle

Stabilité de Schur :  $|\text{racines de } p| < 1$ .

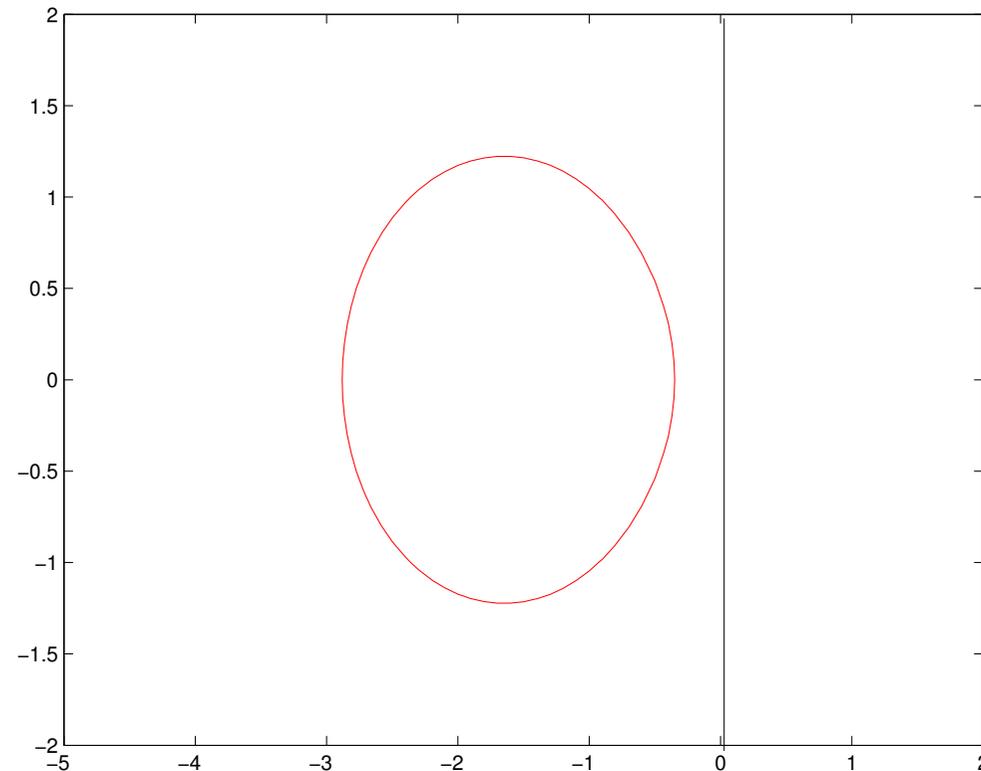
$\varepsilon$ -pseudozero de  $p(z) = (z - 0.8)^2$  pour  $\varepsilon = 0.1$  and  $\varepsilon = 0.01$ .



# La stabilité robuste de Hurwitz en théorie du contrôle

La stabilité de Hurwitz : la partie réelle des racines de  $p < 0$ .

$\varepsilon$ -pseudozero de  $p(z) = (z + 1)^2$  pour  $\varepsilon = 0.4$ .



# Stabilité d'un polynôme

$\mathcal{P} : \mathbf{C}[X]$  muni de la norme 2,  $\| \cdot \|$

$\mathcal{P}_n$  : éléments de  $\mathcal{P}$  de degré inférieur ou égal à  $n$

$\mathcal{M}_n$  : éléments de  $\mathcal{P}_n$  unitaires

**Définition.** *Un polynôme est dit stable si toutes ses racines ont une partie réelle strictement négative et instable sinon.*

La fonction *abscisse*  $a : \mathcal{P} \rightarrow \mathbf{R}$  est définie par

$$a(p) = \max\{\operatorname{Re}(z) : p(z) = 0\}.$$

Un polynôme  $p$  est stable  $\iff a(p) < 0$

# Motivation

En théorie du contrôle, une fonction de transfert s'écrit souvent sous la forme  $H(p) = \frac{N(p)}{D(p)}$  où  $N$  et  $D$  sont des polynômes.

Le système est stable si  $D$  est un polynôme stable.

Question : si  $D$  est stable, est-on loin d'un système instable ?

Problème : Trouver la distance au système instable le plus proche.

(on se restreindra au cas où  $D$  est unitaire)

# Énoncé du problème

Rayon de stabilité  $\beta(p)$  : distance du polynôme  $p \in \mathcal{M}_n$  à l'ensemble des polynômes unitaires instables.

$$\beta(p) = \min\{\|p - q\| : q \in \mathcal{M}_n \text{ et } a(q) \geq 0\}.$$

**Énoncé du problème :**

Étant donné un polynôme  $p \in \mathcal{M}_n$ , calculer  $\beta(p)$ .

# Solution proposée

## Outils utilisés

- la formule explicite donnant les **pseudozéros**
- la **dépendance continue** des racines par rapport aux **coefficients** des polynômes
- l'algorithme de Sturm (compte les racines réelles)

## Les résultats

- un **algorithme** calculant  $\beta(p)$  avec une tolérance arbitraire  $\tau$
- un **graphique** montrant les pseudozéros à la distance  $\beta(p)$ 
  - permet une **analyse qualitative** du résultat
  - **visualisation** du résultat

## Une autre caractérisation de $Z_\varepsilon(p)$

Notons  $h_{p,\varepsilon} : \mathbf{R}^2 \rightarrow \mathbf{R}$  la fonction définie par

$$h_{p,\varepsilon}(x, y) = |p(x + iy)|^2 - \varepsilon^2 \sum_{j=0}^{n-1} (x^2 + y^2)^j.$$

On a alors

$$Z_\varepsilon(p) = \{(x, y) \in \mathbf{R}^2 : h_{p,\varepsilon}(x, y) \leq 0\}$$

$\implies h_\varepsilon(\cdot, y)$  et  $h_\varepsilon(x, \cdot)$  sont des polynômes de degré  $2n$ .

## Résultats théoriques utilisés

**Proposition.** *La fonction abscisse*

$$a : \mathcal{P}_n \rightarrow \mathbf{R}$$

*définie par  $a(p) = \max\{\operatorname{Re}(z) : p(z) = 0\}$  est continue sur  $\mathcal{M}_n$ .*

**Proposition.** *On a la relation suivante*

$$\beta(p) = \min\{\|p - q\| : q \in \mathcal{M}_n \text{ et } a(q) = 0\}.$$

**Théorème.** *L'équation  $h_{p,\varepsilon}(0, y) = 0$  a une solution  $y$  réelle si et seulement si  $\beta(p) \leq \varepsilon$ .*

# Algorithme (dichotomie)

**Entrée :** un polynôme stable  $p$  et une tolérance  $\tau$  sur la précision de  $\beta(p)$  calculé

**Sortie :** un nombre  $\alpha$  tel que  $|\alpha - \beta(p)| \leq \tau$

- 1:  $\gamma := 0, \quad \delta := \|p - z^n\|$
- 2: **tant que**  $|\gamma - \delta| > \tau$  **faire**
- 3:      $\varepsilon := \frac{\gamma + \delta}{2}$
- 4:     **si** l'équation  $h_{p,\varepsilon}(0, y) = 0$  a une solution  $y$  réelle **alors**
- 5:          $\delta := \varepsilon$
- 6:     **autrement**
- 7:          $\gamma := \varepsilon$
- 8:     **fin si**
- 9: **fin tant que**
- 10: **retourne**  $\alpha = \frac{\gamma + \delta}{2}$

# Complexité de l'algorithme

Nécessite l'application de l'algorithme de Sturm qui se fait au moins en  $\mathcal{O}(n^3)$ .

Le nombre d'itérations de la dichotomie pour obtenir le résultat avec une tolérance  $\tau$  est supérieur à

$$\left\lceil \frac{\ln(\|p - z^n\|/\tau)}{\ln 2} \right\rceil$$

# Simulations numériques

Pour le polynôme  $p(z) = z + 1$ , l'algorithme donne  $\beta(p) \approx 0.999996$

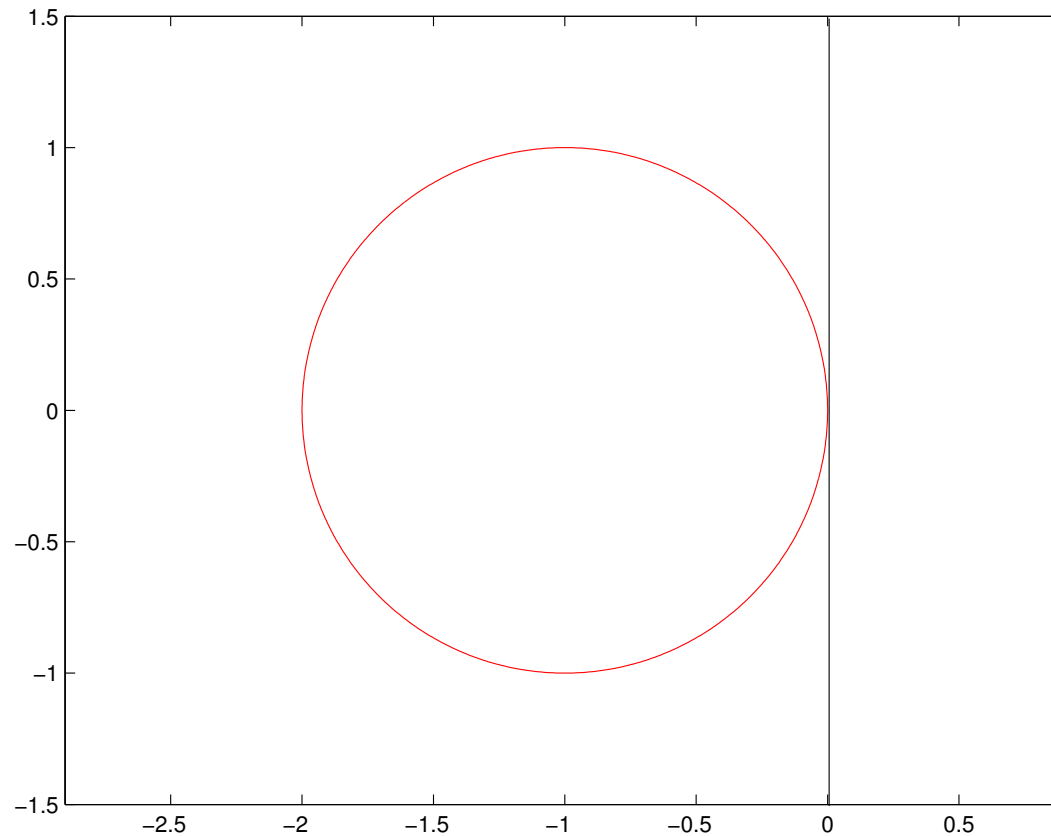


FIG. 1:  $\beta(p)$ -pseudozéros de  $p(z) = z + 1$

## Simulations numériques (suite)

Pour le polynôme  $p(z) = z^2 + z + 1/2$ , l'algorithme donne  $\beta(p) \approx 0.485868$

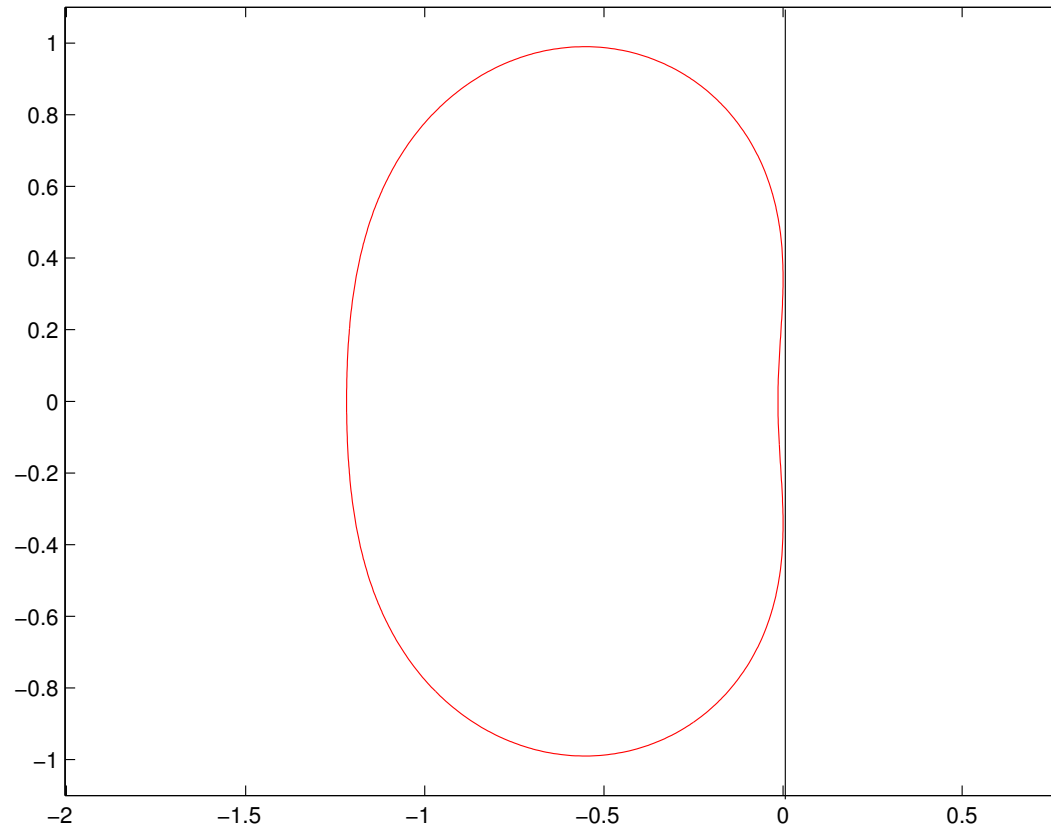


FIG. 2:  $\beta(p)$ -pseudozéros de  $p(z) = z^2 + z + 1/2$

## Simulations numériques (suite)

Pour le polynôme  $p(z) = z^3 + 4z^2 + 6z + 4$ , l'algorithme donne  $\beta(p) \approx 2.610226$

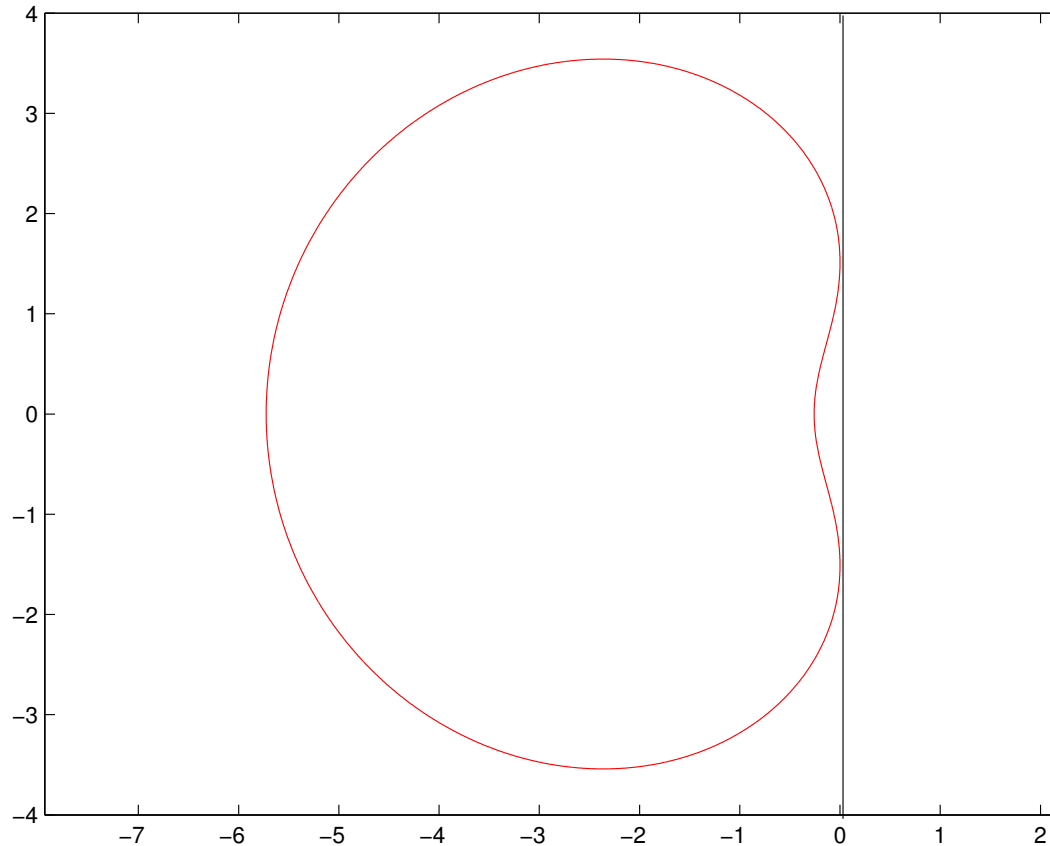


FIG. 3:  $\beta(p)$ -pseudozéros de  $p(z) = z^3 + 4z^2 + 6z + 4$

# Conclusion

Nous avons un outil qui a

- des applications en calcul formel
- des applications pour le calcul en précision finie
- des applications en théorie du contrôle